

ریز رخساره‌ها و چینه نگاری سکانسی سازند سروک در شمال شرق گچساران (تنگ گرگدار)

الهام محمودی رنانی^{۱*}، عزیزالله طاهری^۲

۱- دانشجوی کارشناسی ارشد چینه شناسی و فسیل شناسی، گروه زمین شناسی، دانشکده علوم، دانشگاه اصفهان، اصفهان، ایران

۲- دانشیار گروه زمین شناسی، دانشکده علوم، دانشگاه صنعتی شهرورد، شهرورد، ایران

*پست الکترونیک: e.mahmoodi1364@yahoo.com

تاریخ پذیرش: ۹۰/۱۱/۱۸

تاریخ دریافت: ۹۰/۶/۵

چکیده

به منظور بررسی رخساره‌ها، محیط رسوبی و چینه نگاری سکانسی سازند سروک در شمال شرق گچساران یک برش چینه‌ای در تنگ گرگدار مورد مطالعه قرار گرفته است. سازند سروک در این برش به ضخامت ۴۵۰ متر بوده و عمدها از لایه‌های سنگ آهکی متوسط تا ضخیم لایه و توده‌ای تشکیل شده است. بر اساس تغییرات رخساره‌ای و خصوصیات سنگ شناختی^۹ ریز رخساره متفاوت تشخیص داده شد که در سه کمربند رخساره‌ای لاغون، سد و دریای باز نهشته شده‌اند. بررسی رخساره‌های توالی مطالعه شده نشان می‌دهد که رخساره‌های سازند سروک در یک رمپ کربناته نهشته شده است. سکانس رسوبی درجه ۳ در سازند سروک بر اساس روند عمیق و کم عمق شدگی تشخیص داده است. سکانس اول به سن آلبین پسین – سنومانین میانی است. مرز بین سازند کژدمی و سازند سروک به عنوان mfs و بخش قاعده‌ای سازند سروک به عنوان HST سکانس اول در نظر گرفته شده است. رخساره‌های HST در این سکانس عمدها از نوع دریای باز می‌باشند. مرز بالایی این سکانس از نوع SB2 است. سکانس دوم به سن سنومانین می‌باشد. دسته رخساره‌های پیش رونده (TST) این سکانس از رخساره‌های دریای باز تشکیل شده است. رخساره‌های تشکیل دهنده HST عمدها از رخساره‌های دریای باز و لاغون تشکیل گردیده و سکانس سوم در سنومانین پسین نهشته شده است. دسته رخساره‌های پیش رونده (TST) در این سکانس مشکل از رخساره‌های تالاب است. سطح حداکثر پیش‌روی (mfs) با رخساره بار مشخص می‌گردد. رخساره‌های تشکیل دهنده HST از رخساره‌های لاغون می‌باشد. مرز بالایی این سکانس از نوع SB1 است.

واژه‌های کلیدی: سازند سروک، ریز رخساره، محیط رسوبی، چینه نگاری سکانسی، سنومانین، تنگ گرگدار.

مقدمه

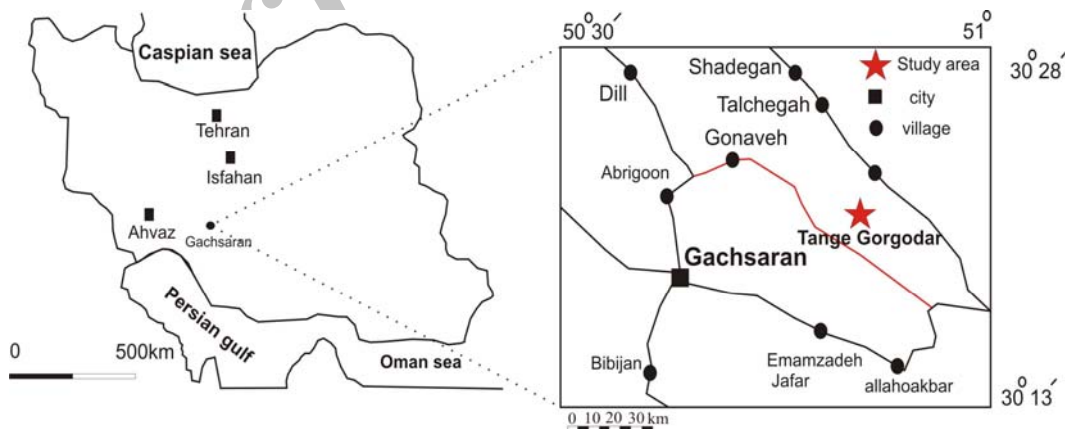
سازند سروک در تنگ سروک واقع در یال جنوبی تاقدیس کوه بنگستان و در شمال غرب شهرستان بهبهان معرفی شده است (James & Wynd, 1965). این سازند به سه بخش پایینی (مادود)، میانی (احمدی) و بالایی تقسیم شده است (James & Wynd, 1965) و دارای دو رخساره متفاوت

سازند سروک به سن آلبین - تورونین یکی از سنگ مخزن‌های مهم در جنوب باختری ایران است (مطیعی، ۱۳۷۲) و عمدها از سنگهای آهکی تشکیل شده است. این سازند بخشی از گروه بنگستان است که در پلاتفرم کربناته وسیعی در حاشیه جنوبی نشوتنیس نهشته شده است. برش نمونه

سکانسی آن در اکتشاف و توسعه میدانهای نفتی اهمیت زیادی دارد. هدف از این بررسی تشخیص رخساره‌ها، محیط رسویی و چینه نگاری سکانسی سازند سروک در تنگ گرگدار در شمال شرق گچساران است.

روش مطالعه

به منظور رسیدن به اهداف تعیین شده، برش چینه نگاری تنگ گرگدار واقع در ۱۵ کیلومتری شمال شرق گچساران با موقعیت جغرافیایی به طول $54^{\circ} 50'$ و به عرض $30^{\circ} 21'$ اندازه‌گیری و تعداد ۲۵۶ نمونه از آن بر اساس تغییرات رخساره‌ای جمع آوری گردید (شکل ۱). برش برداشت شده شامل ۴۵۰ متر سنگ آهکهای نازک لایه تا توده‌ای است که بر اساس شواهد صحرایی و مطالعه خصوصیات میکروسکوپی به شش واحد سنگ چینه نگاری تفکیک شده است. برای نام‌گذاری سنگهای آهکی از طبقه‌بندی دانهام (۱۹۶۲) استفاده شده است. چینه نگاری سکانسی سازند سروک بر اساس روشها و اصول چینه نگاری سکانسی (Haq *et al.*, 1987; Emery & Myers, 1996; Simmons *et al.*, 2007) بررسی شده است.



شکل ۱: موقعیت جغرافیایی منطقه مورد مطالعه

تفکیک ریز رخساره‌ها بر اساس اجزای اسکلتی، غیر اسکلتی و بافت است. تفسیر و توصیف ریز رخساره‌ها به شرح زیر است:

است. در محل برش الگو و فارس ساحلی، رخساره‌های کم عمق این سازند گسترش دارند در حالی که در ناحیه لرستان رخساره‌ها عمیق هستند. رخساره کم عمق از سنگ آهک ضخیم لایه تا توده‌ای حاوی فسیلهای رودیست و شکم پا تشکیل شده است. رخساره عمیق متشکل از سنگ آهکهای نازک لایه حاوی فسیل الیگوسترینا است. این سازند در منطقه مورد مطالعه به صورت هم شیب بر روی سازند کردمی و به شکل ناپیوسته در زیر سازند گورپی قرار دارد. ریز رخساره‌ها و محیط رسویی سازند سروک در تاقدیس نار (فرزدی، ۱۳۷۱)، میدان نفتی اهواز (کیوانی، ۱۳۷۲)، برش الگو و سفید کوه لرستان (جلیلیان، ۱۳۷۵؛ لاسمی و جلیلیان، ۱۳۷۶) برش لندران در جنوب غرب سمیرم (وزیری مقدم و صفری، ۱۳۸۲) و میدان نفتی گچساران (رحمی نژاد و همکاران ۱۳۸۵) مطالعه شده است. ناصری (۱۳۸۴) اصیلیان مهابادی و لاسمی (۱۳۸۶)، لاسمی و کاووسی (۱۳۸۴) و غیشاوی (۱۳۸۸)، محیط رسویی و چینه نگاری سازند سروک را مطالعه کرده‌اند. از آن جایی که سازند سروک پس از سنگ آهک آسماری مهمترین سنگ مخزن حوضه زاگرس است، شناسایی رخساره‌ها و چینه نگاری

شرح و تفسیر رخساره‌های رسویی

مطالعه و بررسی میکروسکوپی سازند سروک در برش مورد مطالعه به شناسایی ۹ ریز رخساره انجامیده است (شکل ۲).

که در زمینه‌ای از میکرایت جای گرفته‌اند (شکل ۲ ب). روزن‌داران کف‌زی ریز، روزن‌داران شناور و اینتراکلاست از اجزای فرعی محسوب می‌گردند. اینتراکلاستها از میکرایتی شدن سایر خردۀ‌های بیوکلاستی حاصل شده‌اند. گاهی فراوانی اینتراکلاست سبب ایجاد زیرگروهی در این ریز رخساره می‌گردد که با نام اینتراکلاستیک بایوکلاستیک الیگوستزینا پلوئید پکستون مشخص می‌شود.

لازم به ذکر است که در مقاطع مورد بررسی این ریز رخساره، فراوانی الیگوستزینا و پلوئید متغیر است. در بعضی مقاطع مقدار الیگوستزینا بر مقدار پلوئید پیشی می‌گیرد و در بعضی مقدار پلوئید بیشتر می‌شود. محیط تشکیل این ریز رخساره محیط کم انرژی و نیمه عمیق دریای باز و زیر خط امواج طوفانی و در قسمت‌های عمیق رمپ میانی و یا Wilson, 1975; Gafe, 2005; (Arthur et al., 1987; Ghobishavi, 2010) رمپ خارجی می‌باشد (Flugel, 2010). حضور الیگوستزینا، روزن‌داران شناور و خردۀ‌های ریز رودیست، مشخصات بافتی و موقعیت چینه‌نگاری آن در توالی حاکی از تشکیل این رخساره در شرایط با انرژی متوسط دریای باز است (Flügel, 2010; Ghobishavi et al., 2010). نظری این رخساره را (Piryaei et al., 2009) در ناحیه خوزستان و رحیمی نژاد و همکاران (۱۳۸۵) از میدان نفتی گچساران گزارش کرده‌اند.

۳- پکستون رودیستی پلوئیدی (جور نشده)

تشکیل دهنده‌های اصلی این ریز رخساره خردۀ‌های رودیست و پلوئید است که در خمیره‌ای از گل آهکی قرار گرفته‌اند (شکل ۲ ب). سایر اجزای آن از قبیل خردۀ‌های اکینید و کورتوئیدها از اهمیت کمتری برخوردارند.

از آن جایی که رودیستها در بخش‌های کم عمق‌تر حوضه رسوی توسعه و گسترش داشته‌اند بر اثر عملکرد امواج و جریانها قطعاتی از آنها خرد شده و به این محیط منتقل شده‌اند (Carannante et al., 2000).

۱- پکستون دارای Favusella و الیگوستزینا

این ریز رخساره در سنگ آهکهای متوسط تا نازک لایه به رنگ کرم - خاکستری از قاعده تا ضخامت ۳۸ متری برش مورد مطالعه شناسایی شده است. اجزای تشکیل دهنده این Favusella washitensis، Favusella washitensis، با یوکلاستهای چون خردۀ‌های اکینید و استراکد می‌باشد که در زمینه‌ای از میکرایت قرار گرفته‌اند (شکل ۲ الف).

با توجه به حضور روزن‌داران شناور و الیگوستزینا و بافت دانه پشتیبان می‌توان محیط ته نشست این ریز رخساره را محیطی نسبتاً کم انرژی در دریای باز زیر سطح اساس امواج نرمال دانست (Wilson, 1975; Geel, 2000; Flugel, 2010). فراوانی روزن‌داران شناور بدون کیل و الیگوستزینا نشانگر شرایط یوتروفی است (Luciani & Cobianchi, 1999 Arthur et al., 1987; Pit. ovalis و Pit. Spherical دارای صدف ضخیم Favusilida)، نشان دهنده محیطی غنی از کربنات کلسیم، آب و هوای گرم و شوری بالا هستند که در رمپهای خارجی تا مناطق کم عمق باتیال (۲۰۰ تا ۴۰۰ متری) گسترش دارند (Villan, 1985; Strasser et al., 2001). مشابه این ریز رخساره از محیط دریای باز سازند سروک در ناحیه خوزستان (تیموریان، ۱۳۸۳؛ Ghobishavi et al., 2009) از میدان نفتی گچساران (رحیمی نژاد و همکاران، ۱۳۸۵) و زاگرس مرتفع (Razin et al., 2010) گزارش شده است.

۲- پکستون دارای الیگوستزینا و پلوئید

با بررسی حدود ۳۶ مقطع میکروسکوپی از ضخامت ۳۸ تا ۹۸ متری در سنگ آهکهای متوسط لایه، ریز رخساره پکستون دارای الیگوستزینا و پلوئید تشخیص داده شده است. این ریز رخساره عمده‌ای از الیگوستزینا، پلوئید و خردۀ‌های اسکلتی مانند اکینید، رودیست و استراکد تشکیل شده است

آن در توالی، محیط تشکیل این ریز رخساره را محیط کم عمق رمپ میانی با انرژی متوسط می‌توان تصور کرد. نظریه این رخساره از ناحیه خوزستان، زاگرس مرتفع و ناحیه فارس گزارش شده است (Piryaei *et al.*, 2009; Ghobashavie *et al.*, 2009; Piryaei *et al.*, 2010).

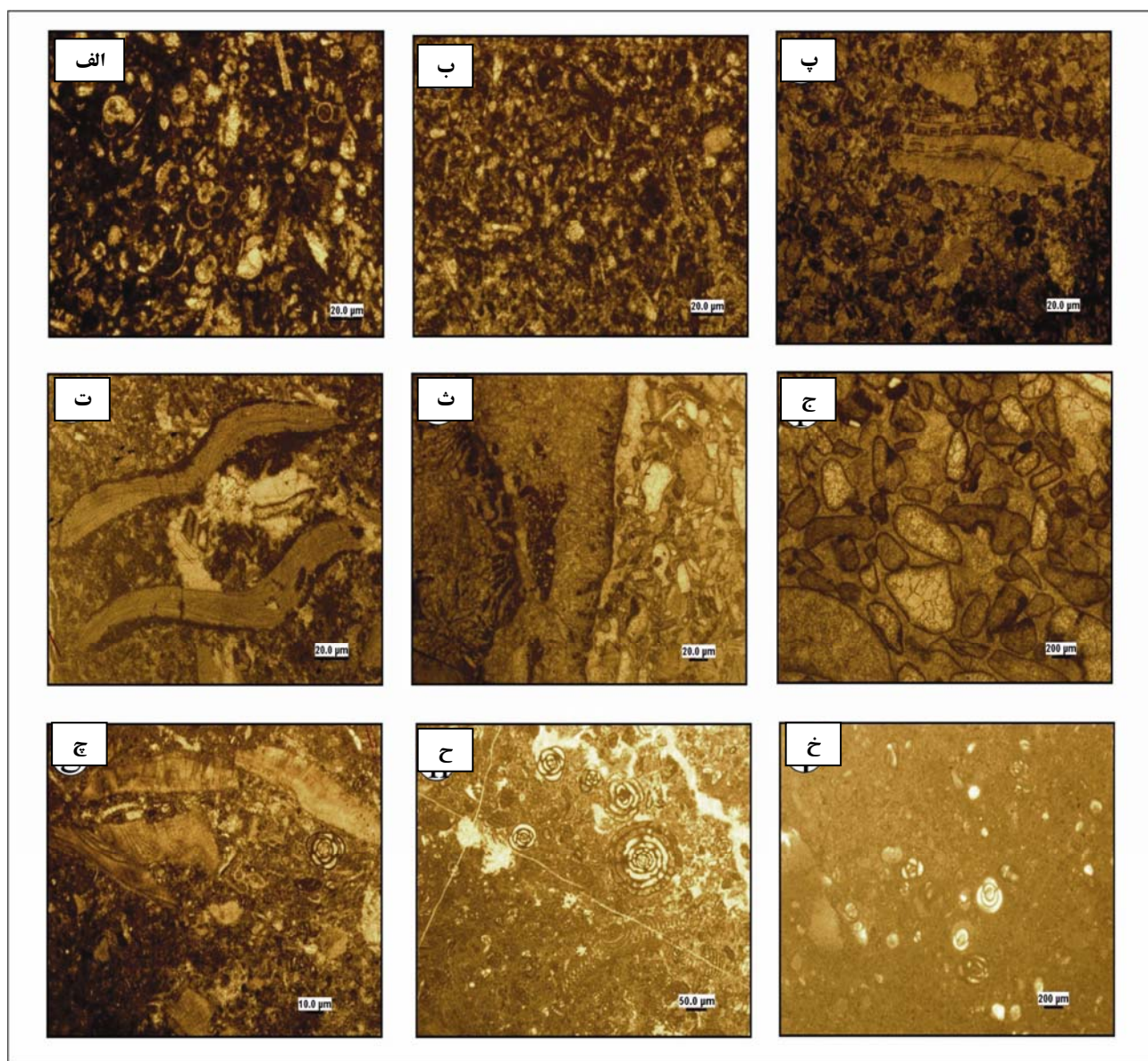
۴- رودستون رو دیستی مرجانی
ریز رخساره رودستون رو دیست مرجان دار در سنگ آهکهای توده ای دارای خرد های رو دیست تشخیص داده است. اجزای تشکیل دهنده خرد های درشت رو دیست شده است. بافت در این ریز رخساره به دلیل مرجان است (شکل ۲). بافت در این ریز رخساره به دلیل درشت بودن خرد های رو دیست و دانه پشتیبان بودن آن رو دستون در نظر گرفته می شود. محیط ته نشست این ریز رخساره با توجه به موقعیت چینه شناسی آن در توالی، بخش های کم عمق رمپ میانی با انرژی متوسط است (Razin *et al.*, 2010).

۵- گرینستون رو دیستی پلوئیدی (جور شده)
این ریز رخساره در سنگ آهکهای توده ای و ضخیم لایه کرم رنگ شناسایی شده است. آلوکم اصلی تشکیل دهنده این رخساره خرد های فراوان رو دیست و پلوئید است (شکل ۲ ج). به علت انرژی زیاد گل از محیط شسته شده و فضای بین دانه ها بعداً توسط کلسیت اسپاری پر شده است و دانه ها از جور شدگی خوبی برخوردارند. با توجه به فراوانی پوسته های ضخیم و درشت رو دیست، بافت دانه پشتیبان، جور شدگی خوب دانه ها و نبود زمینه گلی، محل تشکیل این ریز رخساره محیط پرانرژی سد (کمربند ۶ ویلسون) و در بالای خط امواج نرمال در نظر گرفته می شود (Wilson, 1975; Flugel, 2010).

مشابه این رخساره را وزیری مقدم و صفری (۱۳۸۲) از ناحیه سمیرم، Ghobashavie *et al.* (2009) از ناحیه خوزستان و همچنین Carannante *et al.*, (2000) از شمال ساردنیا گزارش کرده اند.

همچنین با توجه به این که در این ریز رخساره سنگواره متعلق به زیر محیط مرداب (نظریه alveolinids و miliolids) مشاهده نشده است، این ریز رخساره متعلق به بخش های کم عمق دریای باز و قسمتهای میانی رمپ میانی است (Wilson, 1975; Flugel, 2010; Grafe, 2005) می شود که در این ریز رخساره اندازه دانه ها عموماً متنوع و جور شدگی ضعیف است. حضور خرد های اکینید، خرد های ریز رو دیست، مشخصات بافتی و موقعیت چینه نگاری آن در توالی حاکی از تشکیل این رخساره در شرایط متوسط انرژی در دریای باز است (Geel, 2000; Flugel, 2010). مشابه این ریز رخساره از ناحیه خوزستان و لرستان (اسمی و جلیلیان، ۱۳۷۶)، ناحیه سمیرم (وزیری مقدم و صفری، ۱۳۸۲) و از ناحیه فارس (Piryaei *et al.*, 2010) گزارش شده است.

۶- فلوستون - رودستون رو دیستی پلوئیدی
از ضخامت ۳۹۰ تا ۳۱۰ متری برش مورد مطالعه در سنگ آهکهای توده ای دارای خرد های درشت رو دیست ریز رخساره شماره ۴ شناسایی شده است. این رخساره به طور کامل شامل خرد های درشت رو دیست و پلوئید است (شکل ۲ ت). اجزای تشکیل دهنده در این رخساره همان اجزای تشکیل دهنده در رخساره شماره ۳ است با این تفاوت که اندازه خرد های رو دیست در این رخساره بزرگتر است. قطعات رو دیست در بخش های کم عمق تر محیط به خصوص سد قرار داشته و در اثر امواج آب دریا خرد شده و به این محیط انتقال یافته است (Carannante *et al.*, 2000). این ریز رخساره نسبت به ریز رخساره شماره ۳ به محیط سد (بار) نزدیکتر بوده و بنابراین انرژی محیط بیشتر بوده است. با توجه به بافت رسوبی و نابر جا بودن رو دیستها و عدم حضور فونای شاخص محیط مرداب (نظریه alveolinids و miliolids) و همچنین موقعیت چینه شناسی Cuneolina،



شکل ۲. رخسارهای رسوبی سازند سروک در تنگ گرگدار، (الف) پکستون دارای *Favusella* و الیگوستئینا؛ (ب) پکستون دارای الیگوستئینا و پلوئید؛ (پ) پکستون روئیستی پلوئیدی (جور نشده)؛ (ت) فلوتستون - روتستون روئیستی پلوئیدی؛ (ث) روتستون روئیستی مرجانی؛ (ج) گرینستون روئیستی پلوئیدی؛ (چ) فلوتستون - روتستون بتیک فرامینیفرا روئیست پلوئید؛ (ح) وکستون پلوئید بایوكلاستیک بتیک فرامینیفرا؛ (خ) وکستون میلیولیدی

روزنداران بدون منفذ شاخص محیط مرداب و همچنین حضور قطعات درشت روئیست، در بخش‌های پر انرژی و کم عمق تالاب مجاور سد تشکیل شده است، (Hottinger, Ghobashavie .1997; Geel, 2000; Razin *et al.*, 2010) (Shabani *et al.*. 2009) شبیه این رخساره را از محیط تالاب سازند سروک در ناحیه خوزستان گزارش کردند.

۷- فلوتستون - روتستون بتیک فرامینیفرا روئیست پلوئید در سنگ آهکهای ضخیم لایه ۳۰ متری انتهای برش مورد مطالعه این ریزرخساره تشخیص داده شده است. در این ریزرخساره خرده‌های درشت روئیست و روزن‌داران بتیک و پلوئید بیشترین فراوانی را دارند. روزن‌داران بتیک شامل *Pseudolitunella* و *Cuneolina*، *mililioids* و *alveolinids* می‌باشند (شکل ۲ج). ریزرخساره مذکور با توجه به حضور

گرفته اند. تنوع کم فونا و غالب بودن گل نشانگر کم انرژی بودن محیط و ارتباط محدود آن با دریای باز است (Flugel, 2010). میلیولیدها در انواع محیطهای آبی کم عمق از نیمه شور تا خیلی شور و محیطهای پشت ریف که میزان مواد مغذی زیاد است، قادر به زندگی هستند (Reiss & Hottinger, 1984). بر اساس موارد ذکر شده این ریز رخساره در بخش های محصور تر تالاب و نزدیکتر به محیط جزرومی تشكیل شده است.

محیط رسوی

به دلیل فقدان ریفهای پیوسته و نبود رسوبات لغزشی و ثقلی نمی توان محیط رسب گذاری سازند سروک را در ناحیه مورد مطالعه به پلاتفرم کربناته حاشیه دار نسبت داد. بر اساس جامعه زیستی، بافت رسوی، ارتباط عمودی رخساره ها و حضور سد رو دیستی توالي مورد مطالعه در یک رمپ کربناته هموکلینال نهشته شده است (Burchette & Wright, 1992; Read, 1985). با توجه به بافت و نوع اجزای اسکلتی و غیر اسکلتی ریز رخساره ها، این رمپ کربناته به سه قسمت داخلی، میانی و خارجی قابل تقسیم است (شکل ۳). لازم به ذکر است که در نمونه های مطالعه شده رخساره های مربوط به پنهانه جزرومی مشاهده نشده است.

نهشته های رمپ داخلی با ریز رخساره های شماره ۷ (فلوتسنون - رو دستون بتیک فرامینیفر رود دیست پلوئید)، شماره ۸ (وکستون / پکستون / گرینستون پلوئید با یو کلاستیک بتیک فرامینیفر) و شماره ۹ (وکستون میلیولیدی) مشخص می گردد.

ریز رخساره شماره ۶ (گرینستون رو دیست پلوئیدی جور شده)، محدوده سطح اساس امواج نهشته شده و سد بیو کلاستی سازند سروک را در ناحیه مورد مطالعه تشكیل می دهد. وجود سیمان حاکی از آن است که گل کربناته در

۸- وکستون / گرینستون پلوئید با یو کلاستیک بتیک فرامینیفر

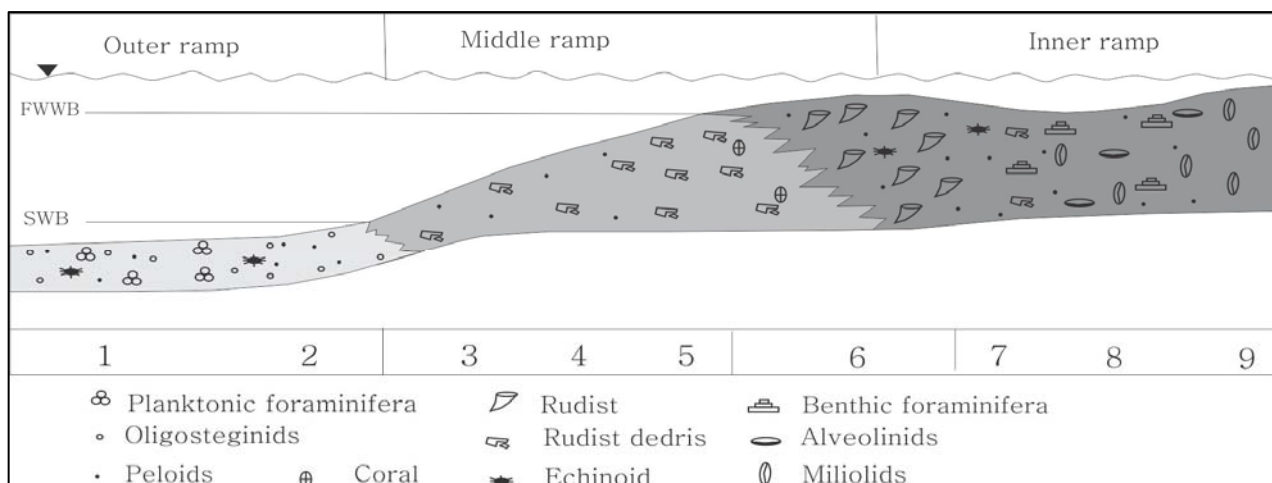
در حد فاصل ۳۲۰ تا ۴۱۵ متری برش مورد مطالعه در سنگ آهکهای نازک و ضخیم لایه ریز رخساره شماره ۸ قابل شناسایی است. ویژگی اصلی این ریز رخساره تنوع روزن داران کفزی است (شکل ۲خ). این روزن داران شامل *Cuneolina*, *Cisalveolina*, *Chrysalidina*, *Pesudolitunella*, *Ovalveolina*, *Dicyclina*, *Miliolids* و *Praealveolina*, *Pesudorhypidonina* است. از اجزاء دیگر این ریز رخساره می توان به پلوئید، خرددهای گاستروپود، دوکفه ای، رود دیست و جلبک سبز اشاره کرد. بافت از وکستون تا گرینستون تا پکستون و در محیطهای با انرژی متوسط وکستون تا گرینستون و در محیطهای پر انرژی به گرینستون تغییر می یابد. لازم به ذکر است در این ریز رخساره فراوانی پلوئید متغیر است. در بعضی از مقاطع مقدار آن کاهش یافته و از اجزاء فرعی محسوب می گردد و باعث تغییر نام این ریز رخساره به با یو کلاستیک بتیک فرامینیفر وکستون می شود. فراون بودن بی منفذهای پورسلاتونز نظیر میلیولیدها و آلوثولینیدها نشانگر نهشته شدن این رخساره در محیطی با شوری نسبتاً بالاست. شباهت ریز رخساره فوق با رخساره های استاندارد معرفی شده توسط Wilson (1975) و Flugel (2010) نشان دهنده ته نشست رسوبات در محیط تالاب است (Vaziri- Moghadam et al., 2006; Brandano et al., 2008).

۹- وکستون میلیولیدی

این ریز رخساره در سنگ آهکهای نازک لایه به رنگ کرم تشخیص داده شده است. مهمترین آلوم کم تشكیل دهنده این ریز رخساره میلیولید است (شکل ۲خ). علاوه بر میلیولیدها مقدار کمی خرددهای گاستروپود و جلبک سبز نیز دیده می شود. اجزاء ای فوق در زمینه ای ازمیکرایت دانه ریز قرار

رودیستی پلوئیدی جور نشده) نشان دهنده رسوبات رمپ میانی می باشند. این رخساره ها در زیر سطح اساس امواج و جلو سد بیو کلاستی نهشته شده است (Flügel, 2010). رمپ خارجی با ریز رخساره های شماره ۱ (پکستون داری الیگوسترینا و Favusella و الیگوسترینا) و شماره ۲ (پکستون دارای الیگوسترینا و پلوئید) مشخص می شوند.

اثر افزایش انرژی از محیط شسته شده و فضای خالی توسط سیمان پر شده است (Carannante *et al.*, 2000; Flügel, 2010). رخساره فوق پر انرژی ترین رخساره ناحیه مورد مطالعه است و به صورت پشتہ هایی با خرد های اسکلتی فراوان بر روی رمپ تشکیل شده است. ریز رخساره های شماره ۵ (رودستون رودیستی مرجانی)، شماره ۴ (فلوتستون – رودستون رودیستی پلوئیدی) و شماره ۳ (پکستون



شکل ۲: محیط رسوبی سازند سروک در برش تنگ گرگار

تشکیل می دهد. رخساره های دریایی باز تشکیل دهنده این بخش هستند. بخش بالایی سازند کژدمی دسته رسوبی پیش رونده این سکانس را تشکیل می دهد و مرز بین این دو سازند معرف سطح حدا کثر پیش روی آب دریا (mfs) می باشد. مرز بین سکانس اول و سکانس دوم نوع ۲ (SB2) است و با رخساره شماره ۶ (گرینستون رودیستی پلوئیدی جور شده) مشخص می گردد (شکل ۴). این مرز سکانسی می تواند معادل مرز سکانسی K120 در صفحه عربی باشد (Sharland *et al.*, 2001; Simmons *et al.*, 2007).

چینه نگاری سکانسی

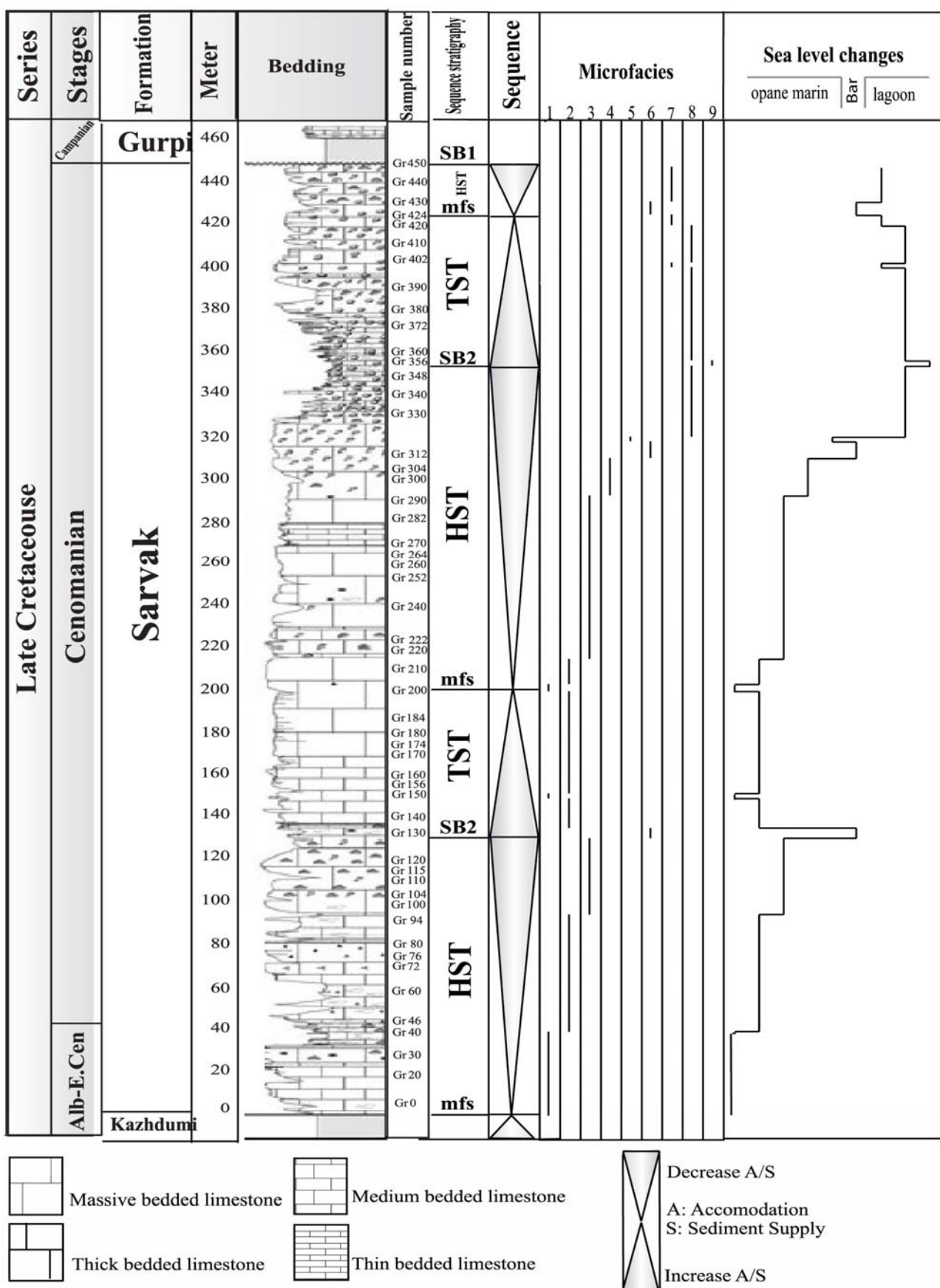
در چینه نگاری سکانسی نهشته های یک حوضه رسوبی به سکانس های رسوبی که بین ناپیوستگیها یا پیوستگی های هم ارز آنها قرار دارند، تقسیم می شوند. این کار با بررسی عمودی تغییرات رخساره ها و شناسایی محیط های رسوبی که مرتبط با تغییرات نسبی سطح آب دریاست، انجام می گیرد (Emery & Mayres, 1996). تغییرات عمودی میکروفاسیسها و منحنی مربوط به تغییرات نسبی عمق، نشانگر سه سکانس رسوبی رده سوم (بخشی از مگاسکانس Zuni) در سازند سروک است (شکل ۴).

سکانس ۲

با افزایش فضای رسوب گذاری و پیش روی آب دریا دسته رسوبی پیش رونده TST این سکانس ته نشست می گردد. رخساره شماره ۲ (پکستون دارای الیگوسترینا و پلوئید)

سکانس ۱

این سکانس به سن آلبین پسین - سنومانین در برگیرنده بخش قاعده ای سازند سروک است و دسته رسوبی وابسته به بالاترین سطح آب دریا، سکون و آغاز پس روی (HST) را



شکل ۴: میکروفاسیس و چینه نگاری سکانسی سازند سروک در تنگ گرگدار

سکانس بیانگر پایین آمدن سطح آب دریا برای زمان طولانی و پدید آمدن مرز سکانسی نوع ۱ می‌باشد، به نحوی که رسوبات سازند سروک با سن سنومانین توسط رسوبات سازند گورپی با سن کامپانین - ماستریشین پوشیده می‌شوند (شکل ۴). این مرز سکانسی می‌تواند معادل مرز Sharland *et al.*, 2001; Haq & Al-Qahtani, 2002; Simmons *et al.*, 2007).

نتیجه‌گیری

سنگهای کربناته سازند سروک در برش مورد مطالعه در سه کمربند رخساره‌ای دریای باز، سد و تالاب نهشته شده‌اند. تغییرات عمودی و جانبی رخساره‌ها و مقایسه آنها با محیط‌های عهد حاضر و قدیمی حاکی از آن است که رخساره‌های سازند سروک، در منطقه مورد مطالعه در پلاتفرم کربناته نوع رمپ نهشته شده‌اند. تغییرات عمودی رخساره‌های میکروسکوپی و منحنی مربوط به تغییرات نسبی عمق حاکی از آن است که توالی سازند سروک در ناحیه مورد مطالعه از سه سکانس رسوبی رده سوم تشکیل شده است. انطباق سکانس‌های تشخیص داده شده با سکانس‌های صفحه عربی و سایر نواحی زاگرس حاکی از آن است که تغییرات جهانی سطح آب دریا در تشکیل آنها نقش اساسی داشته‌اند.

معرف این بخش از سکانس ۲ است. رخساره شماره ۱ (پکستون دارای Favusella و الیگوستئنا) نشان دهنده حداکثر پیش روی سطح آب دریا (mfs) است. رخساره‌های شماره ۲ تا شماره ۸ نشانگر سکون نسبی و پایین آمدن تدریجی سطح نسبی آب دریا (HST) است. رخساره‌های تالاب که بخش پایانی سکانس دوم را می‌سازند نشانگر پایین آمدن سطح نسبی آب دریا هستند. مرز بالایی این سکانس از نوع دوم است. سن این سکانس سنومانین میانی می‌باشد (شکل ۴). این مرز سکانسی می‌تواند معادل مرز Sharland *et al.*, 2001; Haq & Al-Qahtani, 2002; Simmons *et al.*, 2007).

سکانس ۳

سکانس سوم به سن سنومانین میانی - پسین بوده و بخش بالایی سازند سروک را شامل می‌شود. دسته رخساره‌ای پیش‌رونده (TST) متشكل از رخساره‌های شماره ۸ (وکستون/پکستون/گرینستون پلوئید بایوکلاستیک بتیک فرامینیفرا) و شماره ۷ (فلوتستون - رو دستون بتیک فرامینیفرا رو دیست پلوئید) است. بیشترین پیش روی سطح آب دریا (mfs) با ریز رخساره شماره ۶ (گرینستون رو دیستی پلوئیدی جور شده) مشخص می‌شود. دسته رخساره‌ای وابسته به سکون و آغاز پس روی آب دریا (HST) در بردارنده رخساره‌های تالاب (رخساره شماره ۸) است. مرز بالایی این

منابع

- اصیلیان مهابادی، ح.، لاسمی، ی.، ۱۳۸۶. محیط‌های رسوبی و چینه نگاری سکانسی سازندهای کژدمی و سروک در شمال باختر فارس. *فصلنامه علوم زمین*, ۶۳: ۳۰-۴۰.
- تیموریان، ا.، ۱۳۸۳. چینه نگاری زیرزمینی سازندهای سروک و ایلام (گروه بنگستان) در منطقه شرق اهواز. *پایان نامه کارشناسی ارشد*, دانشگاه اصفهان, ۱۷۸ ص.

- جلیلیان، ع. ح. ۱۳۷۵. بررسی میکروفاسیسها و محیط رسوبی سازند سروک در مناطق خوزستان و لرستان. پایان نامه کارشناسی ارشد، دانشگاه تربیت معلم، ۱۴۰ ص.
- رحیمی نژاد، ا.ح.، وزیری مقدم، ح.، صیرفیان، ع.، ۱۳۸۵. بیواستراتیگرافی و میکروفاسیسها در سازند سروک در میدان نفتی گچساران (چاه شماره ۵۵). مجله پژوهشی دانشگاه اصفهان، ۲۱: ۸۷-۱۰۳.
- غبیشاوی، ع.، ۱۳۸۸. چینه نگاری سازندهای سروک و ایلام در تاقدیس بنگستان و میدان پارسی. پایان نامه دکتری، دانشگاه اصفهان، ۱۹۵ ص.
- فرزدی، پ.، ۱۳۷۱. مطالعه محیط‌های رسوبی و میکروفاسیس‌های سازند سروک از گروه بنگستان در تاقدیس نار (شمال شرق بندر کنگان). پایان نامه کارشناسی ارشد، دانشگاه تربیت معلم، ۱۵۰ ص.
- کیوانی، ف.، ۱۳۷۲. میکروفاسیس، محیط رسوبی و تاریخچه دیاژنز در سازند سروک و ایلام در میدان نفتی اهواز (دزفول شمالی). پایان نامه کارشناسی ارشد، دانشگاه آزاد اسلامی تهران، ۱۱۵ ص.
- لامسی، ی.، جلیلیان، ع.، ۱۳۷۶. بررسی میکروفاسیسها و محیط رسوبی سازند سروک مناطق خوزستان و لرستان. فصلنامه علوم زمین، ۲۵: ۴۸-۵۹.
- لامسی، ی. کاووسی، ع.، ۱۳۸۴. چینه نگاری سازند سروک در جنوب خاور لرستان و شمال زون ایذه و کاربرد آن در اکتشاف هیدرولکربور. نهمین همایش انجمن زمین‌شناسی ایران، تهران.
- مطیعی، ۵.، ۱۳۷۲. چینه شناسی زاگرس. سازمان زمین‌شناسی و اکتشافات معدنی کشور، ۵۸۹ ص.
- بختیاری، س.، ۱۳۸۴. اطلس راههای ایران با مقیاس ۱:۱۰۰۰۰۰. مؤسسه جغرافیایی و کارتوگرافی گیاشناسی. ۲۸۸ ص.
- ناصری، ن.، ۱۳۸۴. ژئوشیمی، محیط رسوبی و دیاژنز سازند سروک در مقطع نمونه در طاقدیس کوه بنگستان و مقایسه آن با مقطع تحت الارضی در چاه پارسی ۳۵. پایان نامه کارشناسی ارشد، دانشگاه شهید بهشتی، ۱۴۵ ص.
- وزیری مقدم، ح.، صفری، ا.، ۱۳۸۲. رخساره‌ها و محیط رسوبی سازند سروک در منطقه سمیرم. مجله پژوهشی دانشگاه اصفهان، ۱۸: ۵۹-۷۴.

- Arthur, M.A., Schlanger, S.O., & Jenkins, H.C., 1987. The Cenomanian – Turonian oceanic anoxic event, palaeoceanographic controls on organic- matter production and preservation. In: Brooks, J., & Fleet, A.J., (Eds.), Marine Petroleum Source Rocks. *Geological Society Special Publication*, 26: 401-420.
- Brandano, M., Frezza, V., Tomassetti L., & Pedley, M., 2008. Facies analysis and Paleoenvironmental interpretation of the late Oligocene Attard Member (Lower Coralline Limestone Formation), Malta. *Sedimentology*, 56 (4): 1138–1158.
- Burchette, T.P., & Wright, V.P., 1992. Carbonate ramp depositional systems. *Sedimentary geology*, 79: 3-35.
- Carannanate, G., Ruberti, D., & Sirna, M., 2000. Upper Cretaceous low-energy ramp limestones from the Sorrento Peninsula (southern Apennines, Italy): micro and macrofossil associations and their significance in the depositional sequences. *Sedimentary Geology*, 132: 89-124.
- Dunham, R.J., 1962. Classification of carbonate rocks according to depositional texture. In: Ham, W.E., (Ed.), Classification of Carbonate Rocks. *American Association of Petroleum Geologists*, Memoir 1: 108–121.
- Emery, D., & K. J., Myers, 1996, Seqence Stratigraphy. Blackwell, Oxford, 297p.
- Flügel, E., 2010. Microfacies of carbonate rocks, Analysis, Interpretation and Application. Springer-Verlag, Berlin, 976.

- Geel, T., 2000. Recognition of stratigraphic sequence in carbonate platform and slope: empirical models based on microfacies analysis of Paleogene deposits in southeastern Spain. *Palaeogeography, Palaeoclimatology, Palaeoecology*, 155 (3): 211-238.
- Ghabeishavi, A., Vaziri-Moghaddam, H., Taheri, A., & Taati, F., 2009. Microfacies and depositional environment of the Cenomanian of the Bangestan anticline, SW Iran. *Journal of Asian Earth Sciences*, 11: 212-223.
- Grafe, K.U., 2005. Late Cretaceous benthic foraminifera from the Basque-Cantabrian Basin, Northern Spain. *Iberian Geology*, 31: 277-298.
- Haq, B.U., & Al-Qahtani, A.M., 2002. Phanerozoic regional Cycle Chart of sea level changes for the Arabian Platform. *American Association of Petroleum Geologists, International Petroleum Conference and Exhibition*, Cairo, Egypt, Abstracts, p. A40.
- Hottinger, L., 1997. Shallow benthic foraminifera assemblages as signals for depth of their deposition and their limitation. *Bull. Soc. Geol. Fr.*, 4: 491-505.
- James, G.A., & Wynd, J.G., 1965. Stratigraphic nomenclature of Iranian oil consortium, agreement area. *American Association of Petroleum Geologists Bulletin*, 49: 2118-2245.
- Luciani, V., & Cobianchi, M., 1999. The Bonarelli Level and other black shale in the Cenomanian-Turonian of the northeastern Dolomites (Italy): Calcareous nannofossil and foraminifera data. *Cretaceous Research*, 20: 135-167.
- Piryaei, A., Reijmer, J.J.G., Van Buchem, F.S.P., Yazdi-Moghadam, M., Sadouni, J., & Danelian, T., 2010. The influence of Late Cretaceous tectonic processes on sedimentation patterns along the northeastern Arabian plate margin (Fars Province, SW Iran). *Geological Society of London, Special Publications*, 330: 211-251.
- Razin, P., Taati, F., & Van Buchem, F.S.P., 2010. Sequence stratigraphy of Cenomanian-Turonian carbonate platform margins (Sarvak Formation) in the High Zagros, SW Iran: an outcrop reference model for the Arabian Plate. *Geological Society of London, Special Publications*, 329: 187-218.
- Read, J.F., 1985. Carbonate platform facies models. *Am. Assoc. Petrol. Geol. Bull.*, 69 (1): p.1-21.
- Reiss, Z., & Hottinger, L., 1984. The Gulf of Aqaba, Ecological Micropaleontology. *Ecol. Stud. Springer*, Berlin, 50: 354.
- Stocklin, J., 1968. Structural history and tectonics of Iran, a review. *Am. Assoc. Petrol. Geol. Bull.*, 52 (7): 1229-1258.
- Sharland, P.R., Archer, D.M., Casey, R.B., Davies, S.H., Hall, A.P., Heward, A.D., Horbury, & Simmons, M.D., 2001. Arabian Plate sequence stratigraphy. *GeoArabia Special Publication, Gulf PetroLink*, Manama, Bahrain, 2: 372 p.
- Strasser, A., Hillgartner, H., Hag, W. & Pittet, B., 2001. Third – order depositional sequences reflecting Milankovitch cyclicity. *Terra Nova*, 12: 303-311.
- Simmons, M., Sharland, P.R., Casey, D.M., Davies, R.B., & Sutcliffe, O.E., 2007. Arabian Plate sequence Stratigraphy: Potential implication for global chronostratigraphy. *Geo Arabia*, 12 (4): 101 - 130.
- Vaziri - Moghaddam, H., Kimiagari, M., and Taheri, A., 2006. Depositional environment and sequence stratigraphy of the Oligocene - Miocene Asmari Formation in SW Iran, *Springer-Verlage*, 52: 41-51.
- Villan, J.M., 1975. Les Calcisphaerulidae: (incertae sedis) du Cretaceous superieur du Limbourg (Pays-Bas), et d'autre regions. *Palaeontographica*, A 149: 193-242.
- Wilson, J.L., 1975. Carbonate Facies in Geologic History. *Springer-Verlag*, Berlin, 471p.